

ЛИТЕРАТУРА

1. Жуковский Н. Е. Определение движения жидкости при каком-нибудь условии, данном на линии тока. Полн. собр. соч., т. 3, М.—Л., ОНТИ, 1936.
2. Слезкин Н. А. Обтекание наполненной газом оболочки плоским потоком идеальной жидкости. Уч. зап. МГУ, 1951, т. 3, вып. 152.
3. Петрова С. И. Формы равновесия полости, ограниченной упругой пленкой, в однородном потоке жидкости. В сб. 3-й Всес. съезд по теор. и прикл. механ. Аннотации докладов. М., 1968.
4. Киселев О. М. К задаче о газовом пузыре в плоском потоке идеальной жидкости. Изв. АН СССР. МЖГ, 1969, № 4.
5. Киселев О. М. К задаче об обтекании наполненной газом оболочки плоским потоком идеальной жидкости. Изв. АН СССР. МЖГ, 1971, № 3.
6. Леглер Э. Л. Расчетное и экспериментальное исследование обтекания потоком воздуха профиля мягкой надувной оболочки. Тр. ЦАГИ, 1972, вып. 1382.
7. Берковский Б. С. Стационарное движение упругого контура в ограниченной жидкости. Прикл. механ., 1967, т. 3, вып. 11.
8. Гур-Мильнер С. И. О форме упругого равновесия и устойчивости пластины в плоскопараллельном потоке несжимаемой жидкости. Тр. Ленингр. кораблестроит. ин-та, 1969, вып. 65.
9. Магула В. Э. Гибкая цилиндрическая оболочка под равномерным давлением. Тр. Николаевск. кораблестроит. ин-та, 1972, вып. 63.
10. Гахов Ф. Д. Краевые задачи. М., Физматгиз, 1963.

УДК 532.5

К ВОПРОСУ О ПРОНИКАНИИ КУМУЛЯТИВНОЙ СТРУИ В ПРЕГРАДУ

Н. С. САНАСАРЯН

(Москва)

Решена задача о проникании кумулятивной струи с произвольным распределением скорости вдоль нее с учетом прочностных свойств преграды.

На примере струи с линейным распределением скорости показана возможность получения большой пробивной способности за счет изменения градиента вдоль струи в зависимости от физико-механических свойств преграды и струи.

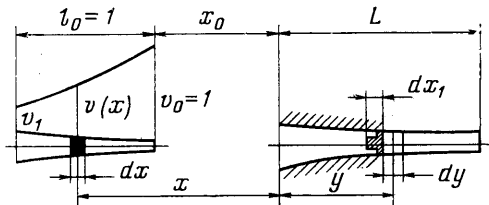
Кроме того, получено распределение скорости вдоль струи, обеспечивающее максимальное пробитие в преграде, расположенной на таком расстоянии, когда частично или полностью по всей струе не достигается предельное растяжение.

Пусть к преграде подходит осесимметричная или плоская кумулятивная струя с произвольным распределением скорости вдоль струи и одинаковой скоростью в поперечном сечении.

Длину струи l_0 на расстоянии x_0 от преграды и скорость головной струи примем равными единице (фиг. 1).

Элемент струи dx с координатой x , отсчитываемой от преграды, подойдя со скоростью $v(x)$ ко дну пробитого отверстия длиной y , пробивает в преграде отверстие длиной dy [1]

$$(1) \quad dy = \frac{u}{v-u} dx_1 = \frac{u}{v-u} \left(dx - \frac{x+y}{v} dv \right)$$



Фиг. 1

где u — скорость проникания струи в преграду, являющаяся функцией скорости струи, dx_1 — длина элемента струи dx при подходе ко дну отверстия.

Уравнение (1) приводится к виду

$$(2) \quad \frac{d(y+x)}{dx} + \frac{f(v)}{v} \frac{dv}{dx} (x+y) = f(v) + 1, \quad f(v) = \frac{u}{v-u}$$

Решение уравнения (2) при начальных условиях $x=x_0$, $y=0$, $v=1$ имеет вид

$$(3) \quad y(x) = \frac{1}{\varphi(v)} \left[x_0 + \int_{x_0}^x (1+f)\varphi dx \right] - x, \quad \varphi(v) = \exp \int_1^v \frac{f(v)}{v} dv$$

Подставляя в (3) значения $x=x_0+1$ и $v=v_1$, где v_1 — скорость хвостовой части струи, определим полную глубину проникания струи в преграду

$$(4) \quad L = y(x_0+1)$$

Согласно [2], в произвольный момент времени проникания струи в преграду для границы раздела справедливо следующее соотношение:

$$(5) \quad \sigma_{SD} + k_c \rho_c (v-u)^2 = H_D + k_n \rho_n u^2$$

где σ_{SD} и H_D — динамические пределы текучести струи и твердость преграды, k_c и k_n — коэффициенты, зависящие от геометрии течения и приближенно равные $1/2$, ρ_c и ρ_n — плотности струи и преграды.

Из уравнения (5) определяем функцию $f(v)$

$$(6) \quad f(v) = \frac{\sqrt{\rho}}{v^2 + H} \left(v \sqrt{v^2 + \frac{\rho-1}{\rho} H} - \frac{H}{\sqrt{\rho}} \right)$$

$$\rho = \frac{k_c \rho_c}{k_n \rho_n}, \quad H = \frac{H_D - \sigma_{SD}}{k_n \rho_n}$$

Подставляя (6) в выражение для функции $\varphi(v)$ и проводя интегрирование, получим

$$(7) \quad \varphi(v) = \frac{1}{v} \frac{v^2 + H}{1 + H} \frac{\sqrt{\rho(1+RH)} + 1}{\sqrt{\rho(v^2 + RH)} + v^2} \left(\frac{\sqrt{v^2 + RH} + v}{\sqrt{1+RH} + 1} \right)^{\sqrt{\rho}}, \quad R = \frac{\rho-1}{\rho}$$

Решения (3) и (4) примут вид

$$(8) \quad y(x) = \frac{1}{\varphi(v_1)} \left[x_0 + \frac{\sqrt{\rho(1+RH)} + 1}{1 + H} \int_{x_0}^x \left(\frac{\sqrt{v^2 + RH} + v}{\sqrt{1+RH} + 1} \right)^{\sqrt{\rho}} dx \right] - x$$

$$(9) \quad L = y(x_0+1)$$

Отметим, что полученные решения имеют физический смысл при $u \geq 0$, т. е. при $v \geq \sqrt{H/\rho}$.

Соотношения (8) и (9), определяющие зависимость глубины проникания струи в преграду y от длины струи $(x-x_0)$ и полную пробивную способность для заданного распределения скорости вдоль струи $v(x)$, получены без учета изменения распределения скорости вдоль струи и по мере ее проникания. В работе [2] это изменение скорости учитывалось, но для абсолютно жесткого стержня. Однако из приведенного там численного примера видно, что изменение скорости стержня незначительно даже при начальной скорости стержня 1470 м/сек, следовательно, оно тем более незначительно для кумулятивной струи, у которой даже скорости хвостовых частей порядка 2000 м/сек. Эксперименты также подтверждают, что по мере проникания кумулятивной струи в преграду распределение скорости вдоль струи не меняется.

В связи с тем что распределение скорости вдоль кумулятивной струи приближенно линейное, представляют интерес решения (8) и (9) для этого случая

$$(10) \quad y(x) = \left[\frac{1}{\varphi(v)} - 1 \right] \left(x_0 + \frac{1}{1-v_1} \right)$$

$$(11) \quad L = \left[\frac{1}{\varphi(v_1)} - 1 \right] \left(x_0 + \frac{1}{1-v_1} \right)$$

Здесь $\varphi(v)$ определяется отношением (7).

Анализ соотношений (10) и (11) показывает, что если пробивание прекращается при скорости $v = \sqrt{H/\rho}$, то максимальное пробитие, равное

$$(12) \quad \max L = v_1 [1 - \varphi(v_1)]^2 [(1-v_1)^2 \varphi(v_1) \cdot f(v_1)]^{-1}$$

достигается при скорости хвостовой части $v_1^* > \sqrt{H/\rho}$, удовлетворяющей уравнению $v_1^*[1-\varphi(v_1^*)]-f(v_1^*)(1-v_1^*)[x_0(1-v_1^*)+1]=0$

На фиг. 2 показан примерный ход зависимости $L(v_1)$.
 Запишем полученные соотношения для $\rho=1$:

$$y(x) = \frac{v-H}{v^2+H} [1+x_0(1-v)] \frac{1-v}{1-v_1}$$

$$v_1^* = \frac{H}{1+x_0(1+H)} + \sqrt{\frac{H^2}{[1+x_0(1+H)]^2} + H}$$

$$L = \frac{v_1-H}{v_1^2+H} [1+x_0(1-v_1)]$$

$$\max L = \frac{(v^*-H)^2}{(1+H)(v^{*2}-H)}$$

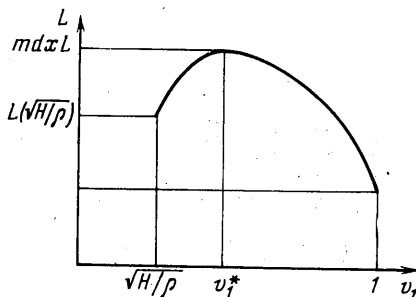
В работе [3] исходя из условия предельного растяжения определяется распределение скорости струи, обеспечивающее максимальную глубину проникания в преграду без учета ее прочностных свойств.

Сформулируем вариационную задачу об определении распределения скорости вдоль струи, обеспечивающего максимальное пробитие в преграде с учетом ее прочностных свойств для таких расстояний до преграды, когда частично или полностью по всей струе не достигается предельное растяжение.

Пусть жидкая струя истекает из резервуара, движущегося равномерно со скоростью v_0 .

Согласно [3] относительное удлинение ϵ элемента струи dx равно

$$(13) \quad \epsilon = \frac{dx_1}{dx_2} - 1 = \frac{dx - (x+y)v^{-1}dv}{dx + (v-v_0)^{-1}[z_0(1-v_0) - x + x_0v_0]dv} - 1$$



Фиг. 2

Здесь dx_2 — длина элемента струи dx в момент его образования, z_0 — начальное расстояние резервуара от преграды.

Продифференцировав найденное из (13) y по x и подставив в (2), получим следующее дифференциальное уравнение

$$(14) \quad v \frac{d^2x}{dv^2} + \left[\frac{\epsilon+1}{\epsilon} \left(f - \frac{v_0}{v-v_0} \right) + \frac{v}{\epsilon} \frac{d\epsilon}{dv} \right] \left(\frac{dx}{dv} - \frac{x-x_0v_0}{v-v_0} + \frac{1-v_0}{v-v_0} z_0 \right) = 0$$

начальными условиями

$$x=x_0, \quad v=1, \quad \frac{dx}{dv} = x_0 - \frac{\epsilon+1}{\epsilon} z_0$$

Решение уравнения (14) имеет вид

$$(15) \quad x = z_0(v-v_0) \int_1^v v^{-1}(v-v_0)^{-1} \Phi(\epsilon) dv + (z_0-x_0)(1-v) + x_0$$

$$\Phi(\epsilon) = \frac{1}{\epsilon} \exp \left[- \int_1^v \frac{1}{\epsilon} \left(\frac{f}{v} + \frac{1}{v} - \frac{1}{v-v_0} \right) dv \right]$$

Среди всех функций $\epsilon(v)$ из интервала $0 \leq \epsilon \leq \epsilon_*$ (ϵ_* — предельное значение ϵ), определим ту, которая после подстановки в выражение (15) для $x(v)$, дает экстремум интегралу (4).

Применяя уравнение Эйлера для нахождения искомой функции $\varepsilon(v)$, имеем $\partial\Phi(\varepsilon)/\partial\varepsilon=0$, откуда нетрудно получить

$$\varepsilon(v) = \varepsilon(1) + \ln v^{-1} \varphi^{-1} (1-v_0)^{-1} (v-v_0)$$

Так как $\partial^2\Phi/\partial\varepsilon^2 < 0$, то найденная функция $\varepsilon(v)$ дает макс L .
При этом соотношения (15) и (3) примут вид

$$x = -\frac{z_0}{\varepsilon(1)}(v-v_0) \int_1^v \frac{dv}{v\varphi(v-v_0)} + (z_0-x_0)(1-v) + x_0$$

$$y = \frac{z_0}{\varphi} \left[1 + \frac{1}{\varepsilon(1)} \ln \frac{v-v_0}{(1-v_0)v\varphi} \right] - \frac{1-v_0}{v-v_0} \left[z_0v - \frac{v_0(x-x_0v)}{1-v_0} \right]$$

Если $\varepsilon(v)$ принимает свое предельное значение ε_* при $x=x_*$ внутри интервала $[x_0, x_0+1]$, то в интервале $[x_*, x_0+1]$ необходимо принять $\varepsilon=\varepsilon_*=const$.

В этом случае соотношения (15) и (3) примут вид

$$x = -z_0\varepsilon_1(v-v_0)(1-v_0)^{-\varepsilon_1} \int_1^v (v-v_0)^{\varepsilon_1-1} (v\varphi)^{\varepsilon_1+1} dv +$$

$$+ (z_0-x_0)(1-v) + x_0, \quad \varepsilon_1 = \frac{1}{\varepsilon_*}$$

$$y = \frac{z_0}{\varphi} \left(\frac{v-v_0}{v\varphi} \right)^{\varepsilon_1} (1-v_0)^{-\varepsilon_1} + \frac{1-v_0}{v-v_0} \left[z_0v - \frac{v_0(x-x_0v)}{1-v_0} \right]$$

В выражении для функции $f(v)$, учитывающей прочностные свойства преграды, можно использовать экспериментально определяемые зависимости скорости проникания струи от ее скорости для различных материалов струи и преграды.

В заключение отметим, что использование предлагаемого решения для практических расчетов ограничивается следующими условиями: 1) допустимая верхняя граница скорости струи определяется предположением о том, что сжимаемостью стержня и преграды можно пренебречь; 2) наименьшая допустимая длина струи определяется тем, что в принятой схеме не учитывается неустановившийся характер процесса в начале и в конце проникания; 3) удельная кинетическая энергия на единицу массы струи значительно превосходит энергию, уходящую на деформирование струи; 4) допустимая верхняя граница для расстояния преграды от струи x_0 определяется условием, что струя по мере проникания остается сплошной.

Поступила 13 II 1974

ЛИТЕРАТУРА

1. *Лаурентьев М. А.* Кумулятивный заряд и принцип его работы. Успехи матем. наук, 1957, т. 12, вып. 4.
2. *Алексеевский В. П.* К вопросу о проникании стержня в преграду с большой скоростью. Физика горения и взрыва, 1966, № 2.
3. *Григорян С. С., Санасарян Н. С.* Оптимальное проникание жидкой струи в преграду. Изв. АН СССР, МЖГ, 1974, № 6.